

## ОПРЕДЕЛЕНИЕ ПОВЕДЕНИЯ СТАНДАРТНОГО ЛИНЕЙНОГО ТЕЛА В ПЛАСТОМЕРЕ ПЛОСКОПАРАЛЛЕЛЬНОГО СДВИГА

И. М. Горбунов

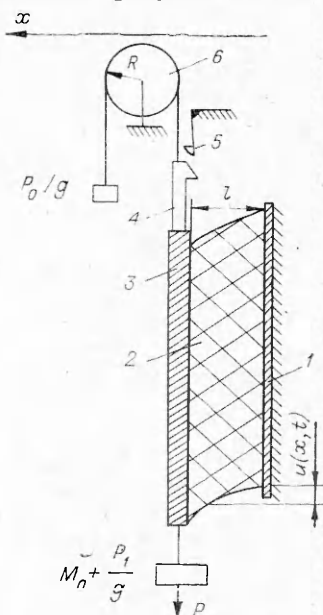
(Москва)

Рассмотрим поведение пластомера, содержащего легко деформирующийся материал, локальные механические свойства которого описываются моделью стандартного линейного тела [1—4], характеризующегося тремя физическими величинами: коэффициентом вязкости  $\eta$ , мгновенным модулем сдвига  $G_0$  и длительным модулем сдвига  $\mu$ .

Пластомер, предназначенный для исследований нетекучих материалов, схематически изображен на фигуре, где 1 — жестко прикрепленная к прибору стальная пластина, 2 — образец толщиной  $l$ , 3 — сдвигаемая жесткая пластина, 4 — индикаторный шток, жестко прикрепленный к сдвигаемой пластине, 5 — замок, предназначенный для фиксации исходного состояния системы и для создания необходимых начальных условий движения пластины, 6 — шкив с приведенным моментом инерции  $I$  и внешним радиусом  $R$ ,  $M_0$  — приведенная масса сдвигаемой пластины и прикрепленного к ней штока,  $P_1$  и  $P_0$  — присоединенные к сдвигаемой пластине грузы,  $u(x, t)$  — функция смещения бесконечно тонкого вертикального слоя исследуемого материала в направлении действия внешней силы плоскопараллельного сдвига,  $x$  — ось координат,  $t$  — время. Груз  $P_0$  присоединен к пластине стальной струной. Применяется образец с жесткостью, много меньшей, чем жесткость деталей прибора [5]. В исходном состоянии положение штока удерживается замком жестко. В момент времени  $t = 0$  верхний конец штока освобождается от замка и пластина начинает сдвигаться под действием результирующей нагрузки  $P = P_1 + M_0g - P_0$ . При этом присоединенная масса [5]  $M = M_0 + (P_1 + P_0)/g + I/R^2$ , где  $P_1/g$ ,  $P_0/g$  и  $I/R^2$  — приведенные массы грузов  $P_1$ ,  $P_0$  и вращающегося шкива,  $g$  — ускорение свободного падения тел. Предполагается, что сила трения  $f$  в подшипниках шкива много меньше, чем нагрузка  $P$ , так что величиной  $f$  можно пренебречь [5]. Эта система существенно отличается от пластомера, используемого в [5—7]. Отметим ее отличительные особенности.

1. Поскольку сдвиговая нагрузка составляет сложную величину  $P = P_1 - P_0 + M_0g$ , а  $M = M_0 + (P_1 + P_0)/g + I/R^2$ , при одинаковых значениях  $I$ ,  $R$ ,  $P$  можно увеличивать или уменьшать значение  $M$  в широких пределах, изменяя  $P_1$  и  $P_0$ , но оставляя постоянной  $P$ . Это свойство позволяет исследовать материалы как при колебательном движении системы, так и при аperiodическом.

2. Описанная система позволяет исключить  $f$  путем снятия груза  $P_0$ .



Так как упомянутые выше упруговязкие характеристики легко деформирующихся материалов могут зависеть, в частности, от температуры  $T$  [4] и этим обусловить процессы деформации образца, то условия эксперимента необходимо выбрать такими, чтобы можно было считать значения  $T$  и каждой из используемых характеристик  $\eta$ ,  $G_0$ ,  $\mu$ ,  $\tau$  одинаковыми по всему объему образца однородного материала. Выберем условия деформации образца так, чтобы можно было записать дифференциальное соотношение между локальной относительной деформацией  $\gamma$  и напряжением  $\sigma$  плоскопараллельного сдвига в виде

$$(1) \quad \sigma + \tau \dot{\sigma} = \mu \gamma + G_0 \tau \dot{\gamma},$$

где  $\tau = \eta / (G_0 - \mu)$  — время релаксации,  $G_0 > \mu$ .

Пусть длина образца и пластин пластомера будет достаточно велика по сравнению с расстоянием между пластинами  $l$ , а внешняя сдвиговая нагрузка невелика, чтобы максимальная величина напряжения не превосходила критического значения, при котором наступает пластическое течение. Тогда можно считать, что микроструктура образца остается неизменной, а деформация имеет вид плоскопараллельного сдвига. Пусть при этом жесткость образца будет много меньше жесткости деталей пластомера. Пренебрежем деформациями последних и примем, что все элементы приведенной массы  $M$  смещаются во времени с одинаковыми скоростью и ускорением, оставаясь параллельными самим себе. Тогда, как и в [5], можно полагать, что масса  $M$  сосредоточена в бесконечно тонком слое на сдвигающейся границе  $S(l)$  образца, где  $S(l)$  — площадь контакта «сдвигающаяся пластина — образец». Под действием сдвиговой силы, созданной нагрузкой  $P$  на поверхности  $S(l)$  при  $\eta \rightarrow \infty$ , возникает напряжение плоскопараллельного сдвига в виде (2) работы [5]. При  $f \ll P$  величиной  $f$  можно пренебречь, а при  $P \gg f$  необходимо снять груз  $P_0$ , чтобы величина  $f$  была исключена из соотношения вида (2) в [5]. В последнем случае  $M = M_0 + P_1/g$ . Все другие необходимые допущения и приближения примем такими же, как и в работе [5]. Основным из них считаем предположение, что процесс деформации изотермичен и температура по всей области существования образца одинакова. При принятых допущениях и приближениях движение системы описывается функцией  $u(x, t)$ , дающей величину вертикального смещения бесконечно тонкого слоя материала на расстоянии  $x$  от закрепленной границы образца, причем относительный сдвиг этого слоя дает величину  $\gamma = du(x, t)/dx$  (формула (3) работы [5]). Используя соотношение (1), запишем дифференциальное уравнение для нахождения функции  $u(x, t)$  в виде

$$(2) \quad \tau \rho u_{ttt} + \rho u_{tt} = \mu u_{xx} + G_0 \tau u_{txx},$$

где  $\rho$  — плотность деформируемого материала. Далее примем, что при  $t < 0$  верхний конец штока закреплен замком жестко и величина внешней нагрузки на границе  $S(l)$  образца есть  $P = 0$ , а при  $t \geq 0$  верхний конец штока отомкнут и внешняя нагрузка  $P = P_1 + M_0 g = \text{const}$  (или  $P = -P_1 + M_0 g - P_0$  при  $P \gg f$ ). Тогда два начальных условия задачи можно представить в виде

$$(3) \quad u(x, 0) = 0, \quad u_t(x, 0) = 0 \quad \text{при } 0 \leq x \leq l.$$

В качестве третьего начального условия возьмем соотношения [5]

$$(4) \quad \rho u_{tt}(x, 0) = G_0 u_{xx}(x, 0) \quad \text{при } 0 \leq x < l;$$

$$(5) \quad S G_0 u_x(l, 0) = P - M u_{tt}(l, 0) \quad \text{при } x = l.$$

Граничные условия движущейся массы образца при  $t > 0$  также запишем известным способом в виде [3]

$$(6) \quad \begin{aligned} S[\mu u_x(l, t) + G_0 \tau u_{xt}(l, t)] = \\ = P - M[\tau u_{tt}(l, t) + u_{tt}(l, t)], \quad u(0, t) = 0. \end{aligned}$$

Соотношения (4)–(6) означают, что в начальный момент действия груза  $P(t=0)$  образец ведет себя как идеализированно упругая система, а при  $t > 0$  — как упруговязкая. Имеется в виду, что до момента  $t=0$ , система находилась в исходном естественном состоянии [1, 2], а под действием груза  $P$  в любой момент времени  $t \geq 0$  напряжение и деформация в образце распространяются с конечной скоростью, не превышающей скорости звука [8], причем релаксационные процессы, обусловленные силой сопротивления внутреннего трения, запаздывают относительно моментов распространения напряжения в деформируемой распределенной массе. В связи с этими физическими свойствами характер перераспределения сил на границе  $S(l)$  образца выражается условием вида (5) при  $t=0$  и (6) при  $t > 0$ , а внутри образца и вблизи границы  $S(l)$  — уравнением (4) при  $t=0$  и (2) при  $t > 0$  соответственно.

Все коэффициенты при частных производных в (2)–(6) считаем постоянными. Уравнение (2) с (3)–(6) отличается от задачи, рассмотренной в [5], наличием членов с коэффициентом  $\mu$  и величины  $P_0$ .

Кроме того, если при решении задачи для тела Максвелла исходное уравнение третьего порядка по времени  $t$  (см. (4) в [5]) математически преобразуется в уравнение второго порядка с неоднородными начальными условиями, а решение задачи упрощается и математически сводится в конце концов к решению дифференциального уравнения второго порядка без особенностей типа (4), (5) (см. (6), (7) в работе [5]), то в этом случае уравнение (2) принципиально не поддается такому математическому преобразованию, а при определении переходной части искомой функции смещения массы образца особенности типа (4), (5) остаются, оказывая влияние на процесс и результат решения нашей задачи. Отметим, что аналогичная задача, но с другими начальными и граничными условиями рассмотрена в [2, 3].

Производя разделение переменных выражений (2)–(6), решение задачи (2) можно записать в виде

$$(7) \quad \begin{aligned} u(x, t) = vx + 4ve \sum_{k=1}^{\infty} \frac{\sin \beta_k \sin \bar{\beta}_k \frac{x}{l}}{\beta_k (2\beta_k + \sin 2\beta_k)} e^{-\frac{t}{3\tau}} \times \\ \times \left[ \frac{C_k e^{\alpha_k t} + e^{\frac{\alpha_k t}{2}} (M_k \cos w_k t + N_k \sin w_k t)}{3\alpha_k^2 + p_k} \right], \end{aligned}$$

где  $\bar{\beta}_k$  — положительные решения уравнения

$$(8) \quad \operatorname{ctg} \beta = M\beta / \rho l S.$$

Здесь введены следующие обозначения:

$$\begin{aligned} C_k &= (G_0 - \mu) \beta_k^2 / \rho l^2 + 2/9\tau^2 - \alpha_k / 3\tau - \alpha_k^2, \\ M_k &= 1/9\tau^2 + \alpha_k / 3\tau - 2\alpha_k^2 - \beta_k^2 \mu / \rho l^2, \\ N_k &= \frac{1}{w_k} \left[ \alpha_k \left( p_k + \frac{1}{6\tau^2} - \frac{3\mu \bar{\beta}_k^2}{\rho l^2} \right) - \frac{\alpha_k^2}{\tau} - \frac{p_k}{3\tau} \right], \end{aligned}$$

$$\begin{aligned}
 \alpha_k &= v_k - p_k/3v_k, \quad v_k = \sqrt[3]{-q_k/2 + \sqrt{D_k}}, \\
 w_k &= \sqrt[3]{3}(v_k + p_k/3v_k)/2, \quad p_k = G_0\beta_k^2/\rho l^2 - 1/3\tau^2, \\
 q_k &= (\mu - G_0/3)\beta_k^2/\tau\rho l^2 + 2/27\tau^3, \quad v = P/S\mu, \\
 (9) \quad D_k &= p_k^3/27 + q_k^2/4 > 0.
 \end{aligned}$$

Выражение вида (7) с учетом (8) справедливо только при  $D_k > 0$  (9). При  $D_k < 0$  выражение вида (7) может содержать аperiodические решения уравнения для переходной части искомой функции  $u(x, t)$ . Для определения пределов применимости (7) удобно преобразовать  $D_k$  (9) к виду

$$(10) \quad D_k = \{y_k^2 - by_k/4 + a^3\} \mu^3 \beta_k^6 / 27 \rho^3 l^6,$$

где

$$\begin{aligned}
 (11) \quad y_k &= \rho l^2 / \tau^2 \mu \beta_k^2; \\
 b &= a^2 + 18a - 27; \quad a = G_0/\mu.
 \end{aligned}$$

Корни трехчлена (10) равны  $y_k^{(1)} = b/8 - \sqrt{d}$ ,  $y_k^{(2)} = b/8 + \sqrt{d}$ , где  $d = (a-1)(a-9)^3/64$ . Условие положительности  $D_k$  (9) выполняется в следующих случаях:  $y_k < y_k^{(1)}$  при  $d > 0$  или  $y_k > y_k^{(2)}$  при  $d > 0$ ,  $y_k \neq y_k^{(1)} = y_k^{(2)} = b/8$  при  $d = 0$  и для всех  $y_k$  при  $d < 0$  ( $1 < a < 9$ ). (В дальнейшем примем  $a > 1$ , что всегда выполняется для выбранной модели.)

Если  $a > 9$  и при этом  $y_k$  находится в интервале

$$(12) \quad b/8 - \sqrt{d} < y_k < b/8 + \sqrt{d},$$

то  $D_k < 0$ . Поэтому уравнение (2) в данном случае при  $a > 9$  уже может содержать упомянутые аperiodические решения в сумме ряда переходной функции в выражении вида (7). Рассмотрим случаи существования таких решений. Пусть  $Sl\rho/M \ll 1$ , что часто реализуется на практике. Тогда корни уравнения (8) можно представить в виде [8]

$$\beta_1 \cong \sqrt{\rho l S / M}, \quad \beta_k \cong (k-1)\pi + 2\rho l S / M$$

Допустим, что один из них, например  $\beta_1$ , входящий в соотношение (11), удовлетворяет при  $a > 9$  неравенству  $y_1 > b/8 + \sqrt{d}$ . Тогда могут найтись следующие за ним величины  $y_k$ , попадающие в интервал (12) и тем самым обуславливающие наличие упомянутых выше аperiodических решений в сумме ряда вида (7). Такие ситуации можно ожидать при исследовании поведения в пластомере резин [4].

Покажем, что при деформации в пластомере эластомеров (находящихся в высокоэластическом состоянии) переходная функция решения вида (7) может реально содержать аperiodические решения. Для этого запишем неравенства вида (12) через действительные параметры образца и используемой установки. Возьмем образец с длиной  $h = 10$  см,  $l = 0,4$  см  $S = 20$  см<sup>2</sup>,  $P_0 = 10^6$  дин,  $P = 3 \cdot 10^4$  дин,  $\eta = 10^3$  П,  $G_0 - \mu = 3 \cdot 10^5$  дин/см<sup>2</sup>,  $\mu = 3 \cdot 10^3$  дин/см<sup>2</sup>,  $\rho = 1$  г/см<sup>3</sup>,  $l/R^2 = 40$  г. Тогда  $M = 2,07 \cdot 10^3$  г. Выразим неравенство (12) для первых членов суммы ряда разложения переходной части функции (7) с параметром  $\beta_1 \cong \sqrt{\rho l S / M} \ll 1$  в виде

$$\begin{aligned}
 (G_0^2/\mu^2 + 18G_0/\mu - 27)/8 - \sqrt{(G_0/\mu - 1)(G_0/\mu - 9)^3/64} < \rho l^2/\tau^2 \cdot \mu \beta_k^2 < \\
 < (G_0^2/\mu^2 + 18G_0/\mu - 27)/8 + \sqrt{(G_0/\mu - 1)(G_0/\mu - 9)^3/64}.
 \end{aligned}$$

Подставляя в это неравенство взятые значения используемых параметров (с приближениями, что  $\sqrt{(G_0/\mu - 1)(G_0/\mu - 9)^3/64} \cong 1104$  и  $M \cong 2 \cdot 10^3$  г), получим  $y_1 \cong 1,2 \cdot 10^3$ ,  $y_k^{(2)} \cong 2,6 \cdot 10^3$ ,  $y_k^{(4)} \cong 395$ , т. е.  $395 < y_1 < 2,6 \cdot 10^3$ .

Если подставить в (12) параметр  $\beta_2 \cong \pi + 2\rho l S/M$ , то  $y_2$  окажется меньше, чем 395, т. е.  $y_2 \cong 1,6$ . Таким образом, при используемых условиях эксперимента первые члены с  $\beta_1$  в сумме ряда разложения переходной части функции вида (7) отвечают аperiodическому движению деформируемой массы, а последующие за ними члены с  $\beta_2, \beta_3, \beta_4, \dots$  — колебательному.

Поэтому при определении физических величин  $\eta, G_0, \mu$  и  $\tau$ , а также при составлении и обработке программ для расчетов их на ЭВМ с использованием формулы типа (7) следует иметь в виду всевозможные ситуации, возникающие при  $a > 9$  и  $y_1 > b/8 + \sqrt{d}$  (или  $y_1 > b/8 - \sqrt{d}$ ). Решение вида (7) при  $\mu = 0$ , как и следовало ожидать, переходит в результат работы [5]. Если положить в (7)  $M = 0$  и перейти к пределу при  $\eta \rightarrow \infty$ , то (7) согласуется с решением аналогичной задачи для идеализованно упругой системы [5]. Поскольку в нашем случае масса  $M = (P_1 + M_0 g)/g$  (или  $P_1/g + P_0/g + M_0$ , когда  $P \gg f$ ), представляет интерес также и предел выражения (7) при  $\eta \rightarrow \infty$ , когда  $M \neq 0$ ,

$$(13) \quad u(x, t) = \frac{\nu \mu}{G_0} \left\{ x - 4l \sum_{k=1}^{\infty} \frac{\sin \beta_k \sin \beta_k \frac{x}{l} \cos \beta_k \sqrt{\frac{G_0 t}{\rho l^2}}}{\beta_k (2\beta_k + \sin 2\beta_k)} \right\}.$$

Таким образом, решение вида (7) является более общим, чем данное в работе [5]. Оно может быть применимо для описания процессов движения стандартного линейного тела, тела Максвелла, а также при исследовании материалов с высокой вязкостью ( $\eta \rightarrow \infty$ ).

Видно, что (7) содержит основные локальные (в том числе и упруго-вязкие) характеристики образца ( $\rho, G_0, \mu, \eta, \tau$ ) и технические характеристики прибора и внешней нагрузки ( $P, M, S, l, y_k, \alpha_k, w_k$ ) в их весьма сложных соотношениях. В связи с этим выражение (7), представляющее собой функцию ползучести, является конкретным и по этой причине пригодным к описанию конкретных экспериментальных ситуаций. Решение вида (7) можно также использовать в качестве одной из исходных функций как при определении упруговязких свойств образцов, так и при прогнозировании механического поведения легко деформирующихся при сдвиге упруговязких материалов, находящихся в технических системах под воздействием небольших внешних сосредоточенных нагрузок.

Автор выражает благодарность Г. Я. Коренману, И. А. Лукьянову, Э. Г. Позняку, Е. С. Савину за интерес к работе и обсуждение ее результатов.

Поступила 11 X 1977

#### ЛИТЕРАТУРА

1. Ржаницын А. Р. Теория ползучести. М., Стройиздат, 1968.
2. Ишлинский А. Ю. Продольные колебания стержня при наличии линейного закона последствия и релаксации. — ПММ, 1940, т. 4, вып. 1.
3. Постников В. С. К вопросу затухания колебаний цилиндрического образца. — «Физика металлов и металловедение», 1958, т. 6, вып. 3.
4. Александров А. П., Лазуркин Ю. С. Изучение полимеров. I. Высокоэластическая деформация полимеров. — ЖТФ, 1939, т. 9, вып. 14.

5. Горбунов П. М. Решение одной задачи о движении упруговязких материалов.— ПМТФ, 1974, № 6.
6. Сабсай О. Ю., Колтунов М. А., Виноградов Г. В. Аналитическое описание ползучести полимеров в текучем состоянии в линейной области деформирования.— «Механика полимеров», 1972, № 4.
7. Бартнев Г. М., Зотеев Н. П., Ермилова Н. В. Особенности высокоэластического поведения каучукоподобных полимеров при малых скоростях деформирования.— «Механика полимеров», 1974, № 4.
8. Тихонов А. Н Самарский А. А. Уравнения математической физики. М., «Наука», 1966.

УДК 620.178.7

### ИССЛЕДОВАНИЕ ПРОЧНОСТИ ОДНОСЛОЙНЫХ И МНОГОСЛОЙНЫХ ЦИЛИНДРИЧЕСКИХ СОСУДОВ ПРИ ВНУТРЕННЕМ ДИНАМИЧЕСКОМ НАГРУЖЕНИИ ИМПУЛЬСАМИ РАЗЛИЧНОЙ ДЛИТЕЛЬНОСТИ

*В. А. Баталов, А. Г. Иванов, Г. Г. Иванова,  
В. Н. Минеев, В. Н. Софронов, В. И. Цыпкин*  
(Москва)

Использование взрывчатых веществ (ВВ) в технологических процессах и экспериментальных исследованиях вызывает необходимость обеспечить герметизацию продуктов взрыва (ПВ), безопасность персонала и защиту оборудования при детонации ВВ. Часто условия испытаний предъявляют жесткие требования к габаритам и весу сосудов, предназначенных для локализации действия импульсных нагрузок различного вида.

При изготовлении сосудов высокого давления, работающих при статических нагрузках (где определяющим рабочим параметром является давление), широко используются многослойные конструкции, в которых удается повысить уровень рабочего давления и избежать катастрофического разрушения конструкции в целом вследствие торможения трещин в отдельных слоях [1, 2].

Представляет интерес выяснить поведение многослойных оболочек при воздействии импульсных нагрузок различной длительности.

Исследовалось разрушение замкнутых цилиндрических сосудов с наружным радиусом  $R_0$  и общей толщиной стенок  $\delta_0$  (фиг. 1), заполненных нормальной воздушной атмосферой, при взрыве внутри них заряда ВВ.

Различие в длительности импульсного нагружения достигалось различными схемами нагружения стенок сосудов. В первом случае (фиг. 1, а) стенки сосуда нагружались ПВ, во втором (фиг. 1, б)—ударом тонкой доплнительной оболочки 3, разгоняемой ПВ.

Сосуды изготовлены из аустенитной нержавеющей стали X18H10T (в состоянии поставки) и при одинаковых геометрических размерах имели разное исполнение корпуса 1. Однослойный корпус изготавливался из трубной заготовки (ГОСТ 5632-61) и имел один сварной шов вдоль образующей цилиндра. Корпус сочленялся без зазора с цельнотянутым сердечником 2 толщиной  $\delta' = 2$  мм (фиг. 1). Многослойный корпус изготавливался путем намотки на сердечник пяти слоев миллиметровой ленты (лист 1 ГОСТ 3680-71) шириной  $4 R_0$ , т. е. был рулонированным [1]. Для исключения зазора между слоями намотка ленты осуществлялась с незначительным натягом; внутренний и внешний концы ленты закреплялись сваркой. Крышки сосудов 4 крепились двенадцатью болтами М 16. Исходные ме-